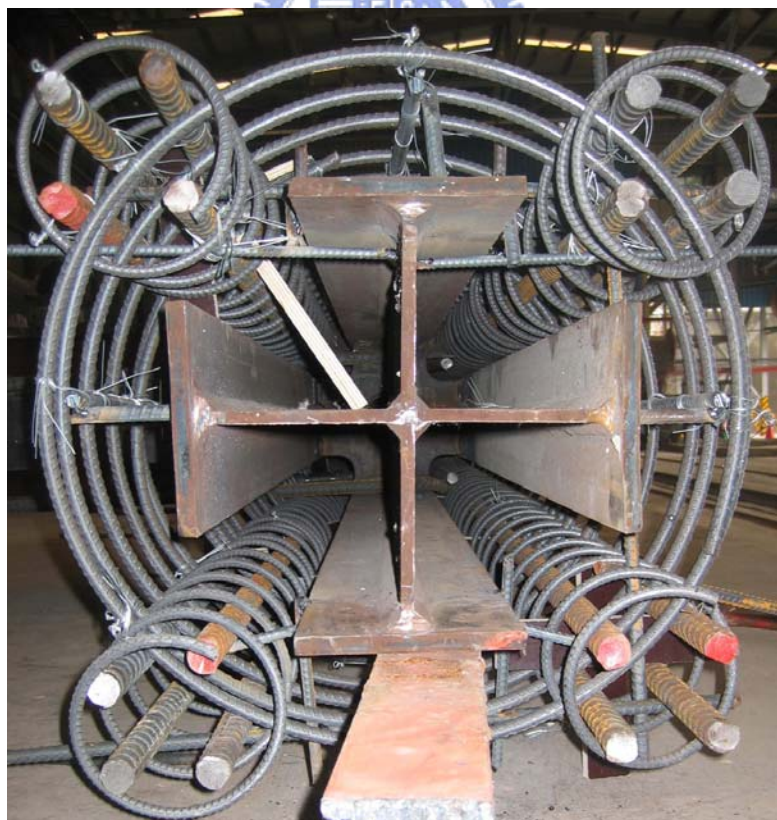
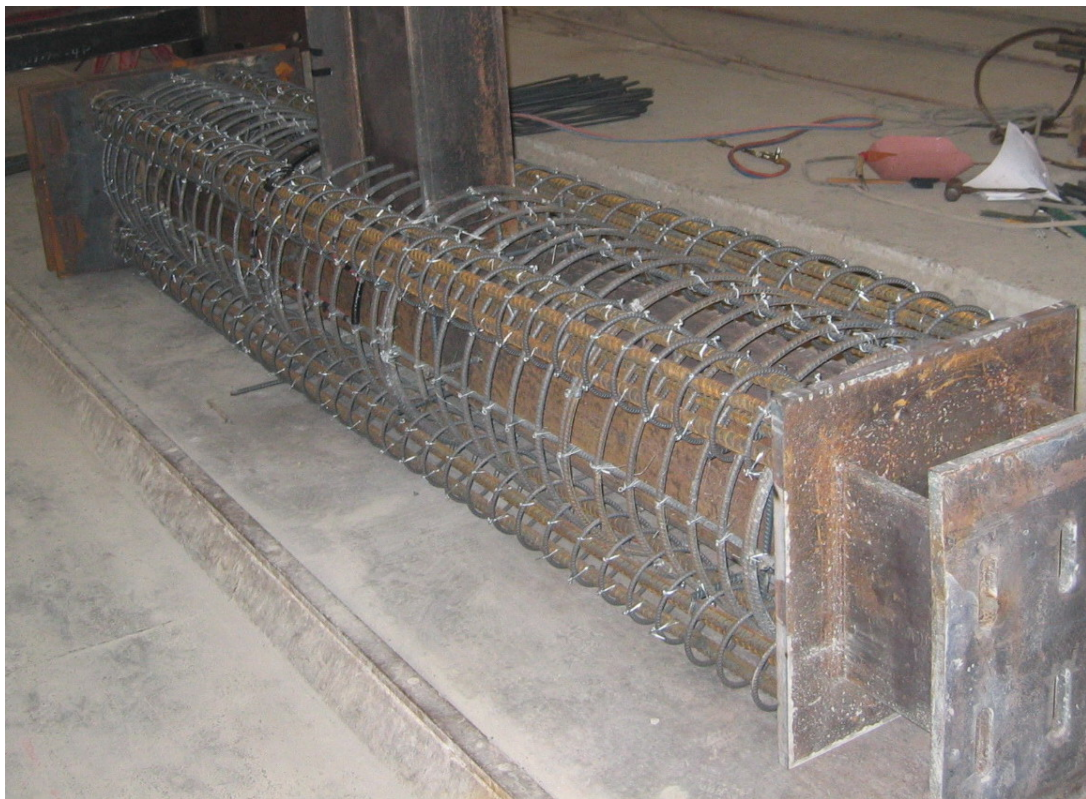


(a) 試體 JBC-SRC1



(b) 試體 JBC-SRC2、JBC-SRC3

照片 1.1 新型「五螺箍(5-Spirals)」SRC 柱斷面圖



(a) 試體箍筋、鋼筋組立及混凝土灌漿前之情形



(b) 試體封模混凝土灌漿前之情形



(c) 試體灌漿後之情形

照片 3.1 試體 JBC-SRC1 之鋼筋組立及混凝土灌漿前後之情形



(a) SRC 梁柱接頭區未灌漿前之情形



(b) 半預鑄 SRC 梁混凝土第二次灌漿前之情形

照片 3.2 試體 JBC-SRC2 梁柱接頭續接處及半預鑄 SRC 梁第二次灌漿前之情形



(a) 預鑄 SRC 梁柱接頭混凝土第二次灌漿前之情形



(b) 梁柱接頭區及 SRC 梁頂部混凝土第二次灌漿及封模情形

照片 3.3 試體 JBC-SRC3 之半預鑄 SRC 梁在混凝土第二次灌漿及封模之情形



照片 4.1 試體 JBC-SRC1 在試驗前之情形



照片 4.2 試體 JBC-SRC1 在層間變位角達 1.0% 弧度時之情形



照片 4.3 試體 JBC-SRC1 在層間變位角達 2.0% 弧度時之情形



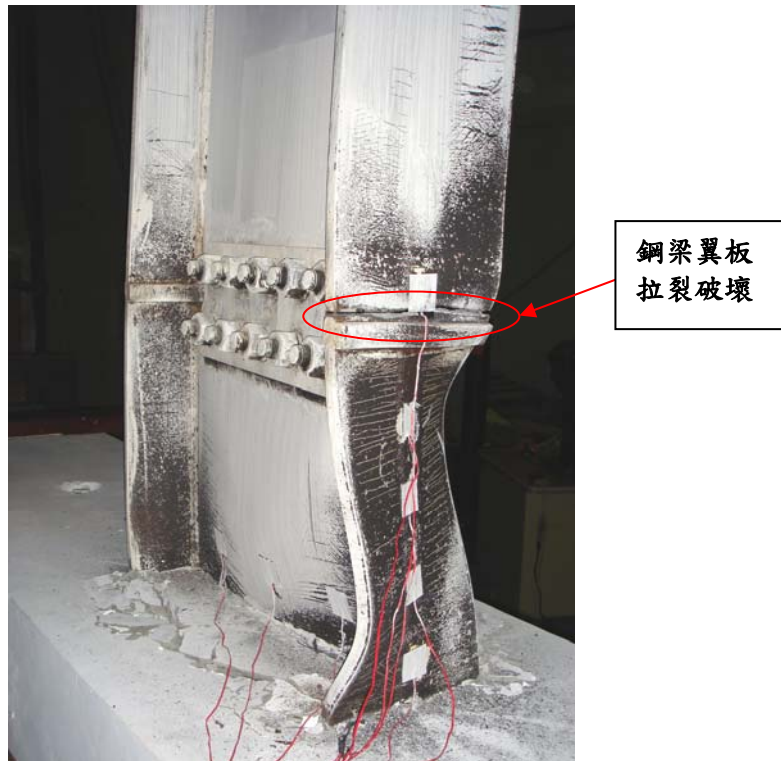
照片 4.4 試體 JBC-SRC1 在層間變位角達 3.0% 弧度時之情形



照片 4.5 試體 JBC-SRC1 在層間變位角達 4.0% 弧度時之情形



照片 4.6 試體 JBC-SRC1 在層間變位角達 5.0% 弧度第一迴圈時之情形：
 (1) 鋼梁發展出良好的塑性鉸；(2) 托梁續接處之鉚道保持良好；
 (3) 梁柱接頭區之混凝土無明顯開裂。



照片 4.7 試體 JBC-SRC1 在層間變位角達 5.0% 弧度第二迴圈之末期，
鋼梁翼板發生拉裂破壞，試驗終止時之情形



照片 4.8 試體 JBC-SRC1 在層間變位角達 5.0% 弧度
第二迴圈末期試驗終止時之情形



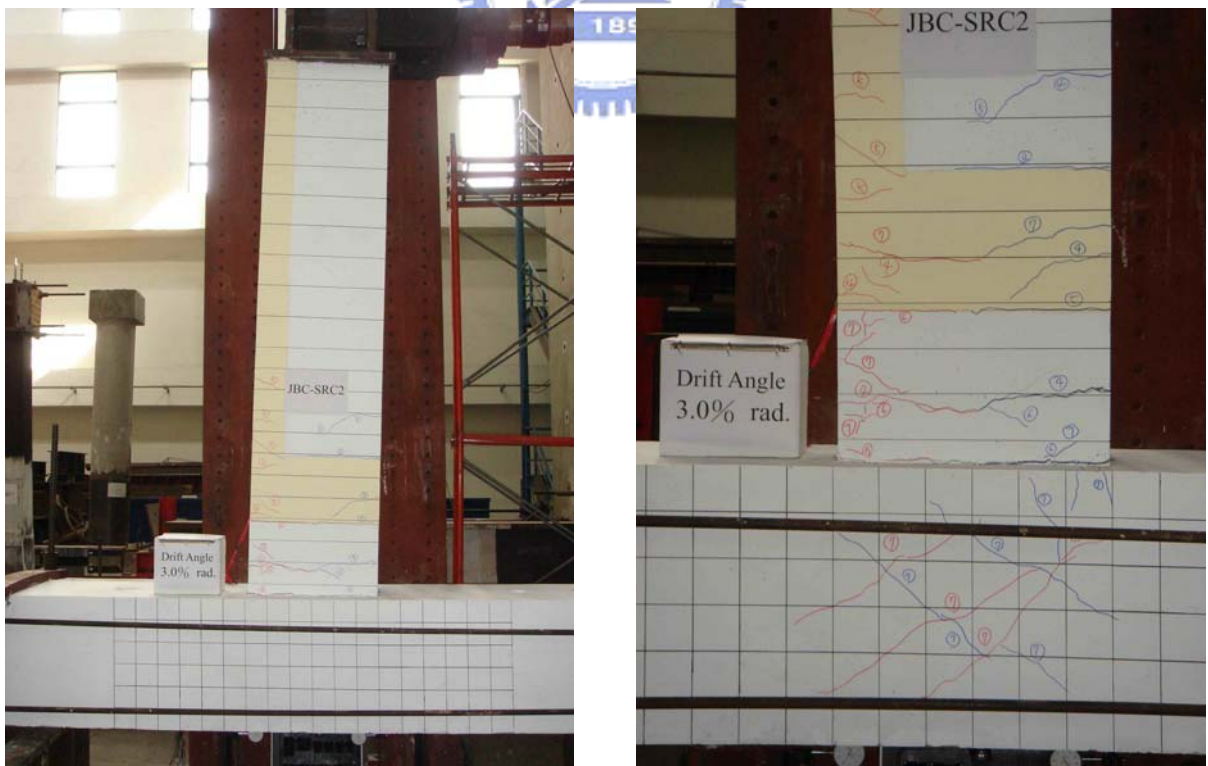
照片 4.9 試體 JBC-SRC2 在試驗前之情形



照片 4.10 試體 JBC-SRC2 在層間變位角達 1.0% 弧度時之情形



照片 4.11 試體 JBC-SRC2 在層間變位角達 2.0% 弧度時之情形



照片 4.12 試體 JBC-SRC2 在層間變位角達 3.0% 弧度時之情形



照片 4.13 試體 JBC-SRC2 在層間變位角達 4.0% 弧度時之情形



照片 4.14 試體 JBC-SRC2 在層間變位角達 5.0% 弧度時之情形



照片 4.15 試體 JBC-SRC2 在層間變位角達 5.0% 弧度後
試驗終止時之情形



照片 4.16 試體 JBC-SRC3 在試驗前之情形



照片 4.17 試體 JBC-SRC3 在層間變位角達 1.0% 弧度時之情形



照片 4.18 試體 JBC-SRC3 在層間變位角達 2.0% 弧度時之情形



照片 4.19 試體 JBC-SRC3 在層間變位角達 3.0% 弧度時之情形



照片 4.20 試體 JBC-SRC3 在層間變位角達 4.0% 弧度時之情形



照片 4.21 試體 JBC-SRC3 在層間變位角達 5.0% 弧度第一迴圈時之情形



照片 4.22 試體 JBC-SRC3 在層間變位角達 5.0% 弧度後
試驗終止時之情形